

Д.К. Сафин
ОАО НК «ЛУКОЙЛ»

О ВОЗМОЖНОСТИ ПРОГНОЗИРОВАНИЯ СРЕДНЕЙ ПОРИСТОСТИ ПЛАСТА BC_{10}^2 ДРУЖНОГО МЕСТОРОЖДЕНИЯ

Получены математические модели, позволяющие прогнозировать среднюю пористость пласта BC_{10}^2 Дружного месторождения по косвенным признакам.

Для выяснения возможностей прогнозирования средней пористости пласта BC_{10}^2 по косвенным признакам изучались следующие характеристики: общая мощность пласта m_o , мощность песчаников m_p , мощность глин m_r , коэффициент песчанистости KP , количество песчаных пропластков n_p , коэффициент расчлененности NI , средний коэффициент пористости $K_{\text{пор}}$, интегрированный коэффициент неоднородности KNI , коэффициент проницаемости $K_{\text{прон}}$, абсолютные отметки кровли пласта $H_{\text{кр}}$. На первом этапе была выполнена статистическая обработка результатов исследования 469 скважин по вышеперечисленным показателям. Гистограммы по этим показателям приведены на рис.1. Гистограмма m_o (рис.1,а) имеет резко выраженное одномодальное распределение с модой 17,1 м ($n=0,34$). Гистограмма m_p (рис.1,б) характеризуется двухмодальным распределением с практически равными по величине модами. Первый модальный интервал 2-4 м ($n=0,17$), второй – 14-16 м ($n=0,14$). Необходимо отметить, что последующие за модальными интервалы также характеризуются значительными частотами (0,15 и 0,12). Минимальная частота располагается в интервале 8-10 м. Распределение m_r (рис.1,в) также двухмодальное, но моды значительно отличаются по частотам. Первая расположена в интервале 2-4 м ($n=0,16$), вторая – 12-14 м (0,08). Гистограмма KP (рис.1,г) также двухмодальна – первая в интервале 20-30% ($n=0,11$), вторая – 80-90% ($n=0,20$). Также двухмодальное распределение характерно для $K_{\text{пор}}$ и $K_{\text{прон}}$ (рис.1,д,е). При этом необходимо отметить, что модальный интервал по пористости располагается в области высоких значений ($n=0,27$), тогда как по $K_{\text{прон}}$ в интервале низких – 0-50 мкм² ($n=0,17$). Все вышеизложенное показывает, что статистические распределения характеризуются в основном двухмодальным видом. Поэтому выясним, нет ли закономерностей распределения $K_{\text{пор}}$ по площади. Для этого построена карта средней пористости пласта BC_{10}^2 (рис.2). Отсюда видно, что распределение $K_{\text{пор}}$ по площади имеет вполне закономерный вид. На северо-западе, в основном, располагаются пласти с пористостью менее 0,18, на юго-востоке – более 0,18. Изолиния 0,18 делит площадь на две части, при этом максимальное сгущение изолиний $K_{\text{пор}}$ находится непосредственно вблизи изопористости 0,18, делящей площадь на две части. В связи с тем, что $K_{\text{пор}}$ и $K_{\text{прон}}$ характеризуются различными законами распределения, изучим, как распределяются и другие

характеристики в пределах двух зон, выделенных по $K_{\text{пор}}$. Для анализа разделим выборку на два класса по пористости.

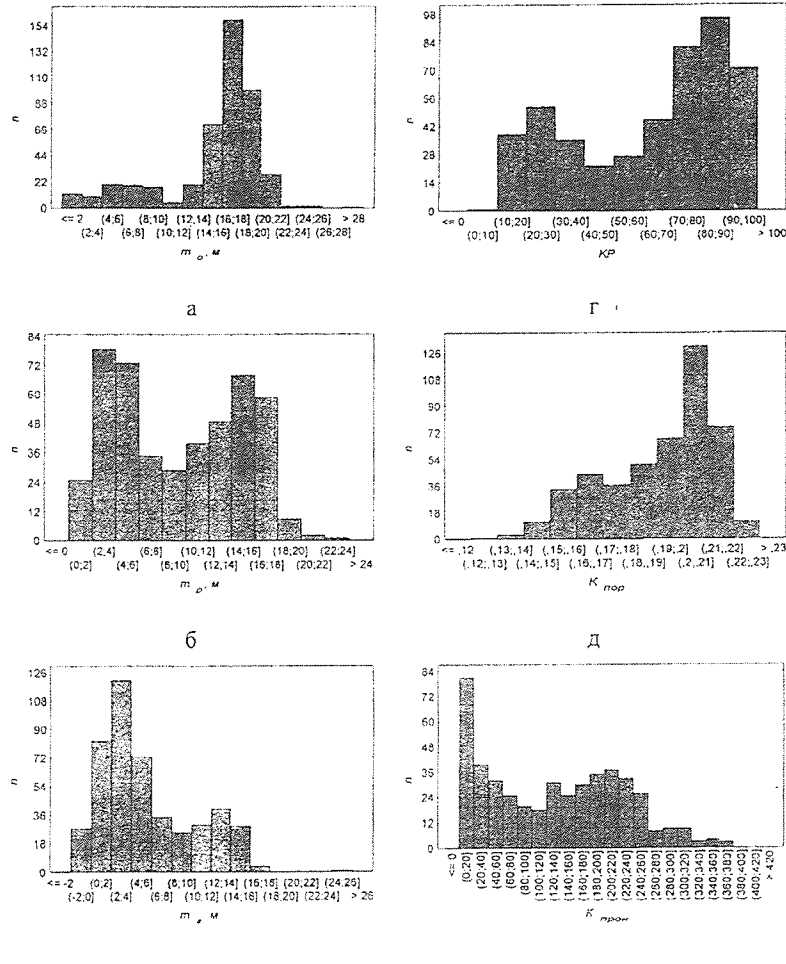


Рис.1. Гистограммы распределения показателей:
а - m_o ; б - m_p ; в - m_r ; г - KP ; д - $K_{\text{пор}}$; е - $K_{\text{прон}}$

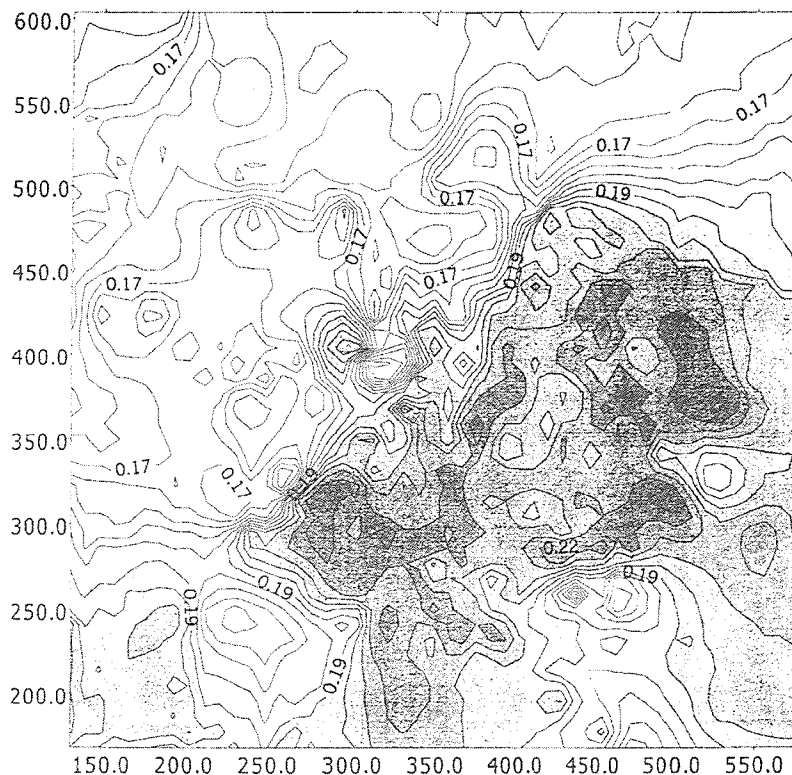


Рис.2. Карта пористости пласта BC_{10}^2 Дружного месторождения

Первый класс (W_1) с $K_{\text{пор}} > 0,18$, второй (W_2) – с $K_{\text{пор}} < 0,18$. Выясним, возможно ли разделение на эти классы по другим характеристикам. Разделение на классы W_1 и W_2 выполним с помощью линейного дискриминантного анализа (ЛДА). Линейные дискриминантные функции по отдельным показателям и основные статистические характеристики зон с $K_{\text{пор}} > 0,18$ и $K_{\text{пор}} < 0,18$ приведены в табл.1. Из нее видно, что средние значения по классам W_1 и W_2 статистически отличаются по $K_{\text{пор}}$, m_p , m_r , KP , n_p . По m_o , H_{kp} , NI и KNI статистического различия не получено. Кроме этого, в табл. 1 приведены линейные вероятностные модели отнесения к высокопористым участкам по отдельным показателям. Связь между вероятностью отнесения к высокопористым участкам (P и $K_{\text{пор}}$) прямая статистически значимая, распознавание по ЛДФ достаточно высокое,

Статистические характеристики по классам W_1 и W_2 Другого месторождения

Показатель	Площади Высокопористые и средней и низкоПористые и глинистые	Берноттия зоны отнесения к высокопористым участкам, граничное значение ($K_{\text{бер}} > 0,18$)	Коэффициент корреляции r	Линейные дискриминантные функции	% правильного распознавания	
					1-я цифра \sim при $K_{\text{бер}} < 0,18$, 2-я – $K_{\text{бер}} > 0,18$, 3-я – среднее	
$K_{\text{бер}}$, мкм ²	185,4 ± 70,7	29,5 ± 28,0	$P=0,31 + 0,00184 K_{\text{бер}}$	0,80;	Z ₁ =0,00629 $K_{\text{ber}} - 1,33024$	94,83
m_p , м	38,1	94,9	$K_{\text{бер}} = 103,2$ $P=0,185 + 0,0381 m_p$	$t_p > t_i$ 0,80;	Z ₂ =0,0413 ($K_{\text{ber}} - 3,95940$)	87,76
m_p , м	12,2 ± 1,9	4,6 ± 1,9	$K_{\text{бер}} = 103,2$ $P=0,185 + 0,0381 m_p$	$t_p > t_i$ 0,80;	Z ₂ =0,25043 $m_p - 1,79728$	89,79
m_i , м	15,4	42,4	$n_y^* = 8,2$ $P=0,73 - 0,0362 m_i$	$t_p > t_i$ -0,61;	Z ₂ =0,70819 $m_i - 4,72294$	90,32
m_i , м	4,2 ± 3,1	8,7 ± 5,5	$n_y^* = 8,2$ $P=0,73 - 0,0362 m_i$	$t_p < t_i$ 0,48;	Z ₁ =0,55074 $m_p - 3,68782$	86,19
m_i , м	73,3	63,2	$n_y^* = 8,2$ $P=0,161 + 0,01914 m_o$	$t_p > t_i$ 0,79;	Z ₁ =0,2541605 $m_i - 0,86088$	87,58
m_i , м	16,4 ± 4,1	13,4 ± 5,8	$n_y^* = 8,2$ $P=0,161 + 0,01914 m_o$	$t_p < t_i$ 1,22;	Z ₁ =0,57339 $m_o - 5,04750$	92,44
$K/K_{\text{ бер}}$, %	25,0	43,3	$n_y^* = 18$ $P=0,003 + 0,0101 K_{\text{ бер}}$	$t_p < t_i$ 0,91;	Z ₂ =0,71332 $m_o - 6,22160$	92,92
n_p , шт.	74,9 ± 18,4	41,7 ± 26,5	$K_{\text{ бер}} = 49$ $P=0,245 + 0,031 n_p$	$t_p > t_i$ 1,79;	Z ₁ =0,09231 $K_{\text{ бер}} - 3,14952$	74,02
n_p , шт.	24,5	63,5	$K_{\text{ бер}} = 49$ $P=0,245 + 0,031 n_p$	$t_p > t_i$ 0,87;	Z ₂ =0,16886 $K_{\text{ бер}} - 6,70775$	92,44
n_p , шт.	13,0 ± 5,3	53 ± 3,8	$n_p^* = 7$ $P=0,245 + 0,031 n_p$	$t_p > t_i$ 2,45;	Z ₁ =0,20776 $n_p - 1,78178$	73,54
$H_{\text{ бер}}$, м	40,7	71,6	$n_p^* = 7$ $P=25,88 + 0,01115 H_{\text{ бер}}$	$t_p > t_i$ 0,95;	Z ₂ =0,49855 $n_p - 3,42256$	86,71
N_f	-2274,2 ± 10,4	-2280,5 ± 13,7	$H_{\text{ бер}}^{* \sim 2276,0}$ $P=0,36 + 0,0507 N_f$	$t_p > t_i$ 0,99;	Z ₁ =0,35279 $N_f - 4,57056$	82,93
N_f	0,4	0,6	$H_{\text{ бер}}^{* \sim 2276,0}$ $P=0,36 + 0,0507 N_f$	$t_p > t_i$ 0,91;	Z ₂ =2,63443 $N_f - 4,50682$	90,00
KNN	23,5 ± 19,9	16,5 ± 22,7	$N_f^* = -2,5$ $P=0,45 + 0,00106 KN_f$	$t_p < t_i$ 0,18;	Z ₁ =0,03878 $KN_f - 1,57741$	71,24
KNN	84,7	137,6	$N_f^* = -2,5$ $P=0,45 + 0,00106 KN_f$	$t_p < t_i$ 1,42;	Z ₂ =0,54745 $KN_f - 0,998906$	10,51
						12,39
						1,54

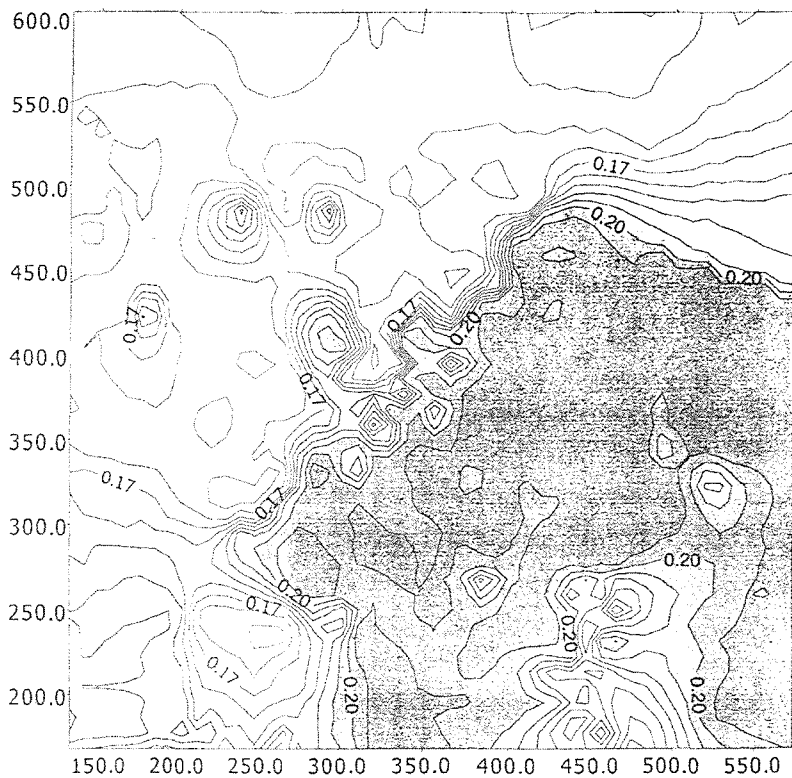


Рис.3. Карта пористости, построенная по многомерным статистическим моделям

т.е. $K_{\text{прон}}$ достаточно хорошо согласовывается с $K_{\text{пор}}$. Сопоставление критического значения $K_{\text{прон}}=103,2 \text{ мкм}^2$ при $p=0,5$, полученного по корреляционной связи с гистограммой, показывает, что данное значение находится в интервале с минимальной частотой. Это свидетельствует о том, что построенная модель «работает» достаточно хорошо. Аналогичные результаты наблюдаются при сопоставлении критических значений по параметрам m_p , m_r и KP . Мощность песчаников в зонах с высокой средней пористостью в среднем в 2,65 раза выше, чем при $K_{\text{пор}} < 0,18$. Значимая прямая корреляционная связь между P и m_p , а также хорошее распознавание по ЛДФ показывают, что коллекторские свойства изучаемого пласта во многом связаны именно с m_p . И наоборот, при достаточно высоких значениях m_r наблюдается уменьшение средней пористости со связью между P и m_r отрицательной, незначимой. Распознавание для пластов по m_r с пониженными значениями $K_{\text{пор}}$ невысокое (55,48%). Показатель m_o характеризуется невысоким разделением

как по средним значениям, так и по ЛДФ. Связь между P и m_o прямая, статистически незначимая. Различие распределения для изучаемых классов по KP , n_p очень сильное, о чем свидетельствуют тесные значимые связи P с KP и n_p , а также достаточно хорошее разделение по ЛДФ. Показатель H_{kp} характеризуется достаточно сильной связью с P . ЛДФ по данному показателю построить не представляется возможным. По показателям NI и KNI можно отметить, что они не разделяются по ЛДФ, при наличии достаточно высокой связи между P и NI .

Для более полного анализа определим значения парной корреляции между показателями также в пределах двух классов (табл.2).

Таблица 2

Корреляционная матрица

	Клас- сы $K_{\text{пор}}$	m_p	m_r	m_o	KP	n_p	NI	H_{kp}	$K_{\text{прон}}$
m_p	<0,18	1,00	-0,21	0,38	0,40	0,92	0,31	0,10	0,38
	>0,18	1,00	-0,44	0,75	0,56	0,91	0,28	0,21	0,21
m_r	<0,18		1,00	0,83	-0,89	-0,19	0,37	0,38	0,06
	>0,18		1,00	0,27	-0,97	-0,42	0,32	0,04	-0,32
m_o	<0,18			1,00	-0,62	0,35	0,53	0,42	0,27
	>0,18			1,00	-0,11	0,67	0,54	0,26	0,26
KP	<0,18				1,00	0,35	-0,33	-0,25	0,04
	>0,18				1,00	0,53	-0,23	0,01	0,31
n_p	<0,18					1,00	0,35	0,09	0,37
	>0,18					1,00	0,25	0,18	0,17
NI	<0,18						1,00	0,08	0,22
	>0,18						1,00	0,05	-0,14
H_{kp}	<0,18							1,00	0,16
	>0,18							1,00	0,00
$K_{\text{прон}}$	<0,18								1,00
	>0,18								1,00

Анализ показывает, что наиболее сильные различия по классам при сопоставлении m_p с другими характеристиками пласта BC_{10}^2 наблюдаются по m_r и m_o . Для высокопористых пластов связь с m_r более сильная, отрицательная, с m_o также более сильная, но положительная. Необходимо отметить, что связь между $K_{\text{пор}}$ и $K_{\text{прон}}$ более ослаблена для пластов, где средняя пористость менее 0,18. Мощность глин имеет высокие положительные связи при $K_{\text{пор}} < 0,18$ с m_o и H_{kp} , при $K_{\text{пор}} > 0,18$ – связь отрицательная с n_p и $K_{\text{прон}}$. Общая мощность имеет различные связи в двух классах по KP . Остальные корреляционные связи в пределах изучаемых классов достаточно близки.

Все вышеизложенное свидетельствует о том, что значение средней пористости по пласту BC_{10}^2 Дружного месторождения формируется различным образом в пределах рассмотренных групп. В связи с полученными данными

построим многомерные модели прогноза коэффициента средней пористости по изучаемым показателям (в расчете не учитывается $K_{\text{прон}}$).

При использовании многомерного пошагового регрессионного анализа коэффициент средней пористости в первом классе можно определить по следующей формуле:

$K'_{\text{пор}} = 0,0012 m_p + 0,0003 m_o + 0,157$ при $R=0,40$, отношение $F_p/F_t=7,52$, $p<0,00000$.

При $K''_{\text{пор}} < 0,18$ расчетная модель определения пористости имеет следующий вид:

$K'''_{\text{пор}} = -0,0008 m_t + 0,0001 m_p + 0,206$ при $R=0,33$, отношение $F_p/F_t = 7,91$, $p<0,00000$.

Вышеприведенные зависимости показывают, что формирование пористости определяется в обоих случаях положительным влиянием m_p , но при $K_{\text{пор}}<0,18$ сильное положительное влияние оказывает также m_o , а во втором случае еще более значительное отрицательное влияние на $K_{\text{пор}}$ оказывает m_t .

С использованием полученных уравнений построена карта пористости (рис.3). Сопоставление этой карты с картой, приведенной на рис. 2, показывает их хорошую сходимость. Коэффициент парной корреляции между пористостью, определенной ранее по α_{pr} и по вышеприведенным зависимостям, равен 0,89 ($t_p>t_t$), что свидетельствует о том, что построенные прогнозные модели «работают» хорошо и могут быть использованы для определения средней пористости пласта БС₁₀² Дружного месторождения нефти.

Получено 22.12.2000